

Tafeln

Autor(en): **[s.n.]**

Objektyp: **Appendix**

Zeitschrift: **Eclogae Geologicae Helvetiae**

Band (Jahr): **52 (1959)**

Heft 2

PDF erstellt am: **18.07.2024**

Nutzungsbedingungen

Die ETH-Bibliothek ist Anbieterin der digitalisierten Zeitschriften. Sie besitzt keine Urheberrechte an den Inhalten der Zeitschriften. Die Rechte liegen in der Regel bei den Herausgebern.

Die auf der Plattform e-periodica veröffentlichten Dokumente stehen für nicht-kommerzielle Zwecke in Lehre und Forschung sowie für die private Nutzung frei zur Verfügung. Einzelne Dateien oder Ausdrucke aus diesem Angebot können zusammen mit diesen Nutzungsbedingungen und den korrekten Herkunftsbezeichnungen weitergegeben werden.

Das Veröffentlichen von Bildern in Print- und Online-Publikationen ist nur mit vorheriger Genehmigung der Rechteinhaber erlaubt. Die systematische Speicherung von Teilen des elektronischen Angebots auf anderen Servern bedarf ebenfalls des schriftlichen Einverständnisses der Rechteinhaber.

Haftungsausschluss

Alle Angaben erfolgen ohne Gewähr für Vollständigkeit oder Richtigkeit. Es wird keine Haftung übernommen für Schäden durch die Verwendung von Informationen aus diesem Online-Angebot oder durch das Fehlen von Informationen. Dies gilt auch für Inhalte Dritter, die über dieses Angebot zugänglich sind.

Planche I

	Page
<p>Fig. 1 a-c. <i>Hedbergella trocoidea</i> (GANDOLFI) K. 848 o. Complexe schisteux intermédiaire, série médiane. Gare de Lessoc, coupe 5c (rive gauche de la Sarine), niveau 104, Cénomanién moyen</p>	792
<p>Fig. 2 a-c. <i>Rotalipora</i> (<i>Ticinella</i>) <i>roberti</i> (GANDOLFI) K. 1517 j. Complexe schisteux intermédiaire, série basale. La Forclaz, coupe 8a (flanc de la Dent de Bourgoz), Albien supérieur. Exemple dont la disposition des ouvertures annonce celle des ouvertures du sous-genre <i>Thalmaninella</i> (grand développement des lèvres des ouvertures des dernières loges)</p>	803
<p>Fig. 3 a-c. <i>Rotalipora</i> (<i>Ticinella</i>) <i>roberti</i> (GANDOLFI) K. 1517 d. Complexe schisteux intermédiaire, série basale. La Forclaz, coupe 8a (flanc de la Dent de Bourgoz), Albien supérieur. Exemple dont la disposition des ouvertures annonce celle des ouvertures du sous-genre <i>Rotalipora</i> (lèvres des ouvertures des der- nières loges petites, ouvertures accessoires situées sur la loge étirée vers l'ombilic)</p>	803
<p>Fig. 4 a-c. <i>Rotalipora</i> (<i>Thalmaninella</i>) <i>ticinensis subticinensis</i> (GANDOLFI) K. 1517 h. Complexe schisteux intermédiaire, série basale. La Forclaz, coupe 8a (flanc de la Dent de Bourgoz), Albien supérieur. Remarquer la carène nette dans les tours internes, estompée ou ab- sente au dernier tour</p>	803

Toutes les figures 75 ×

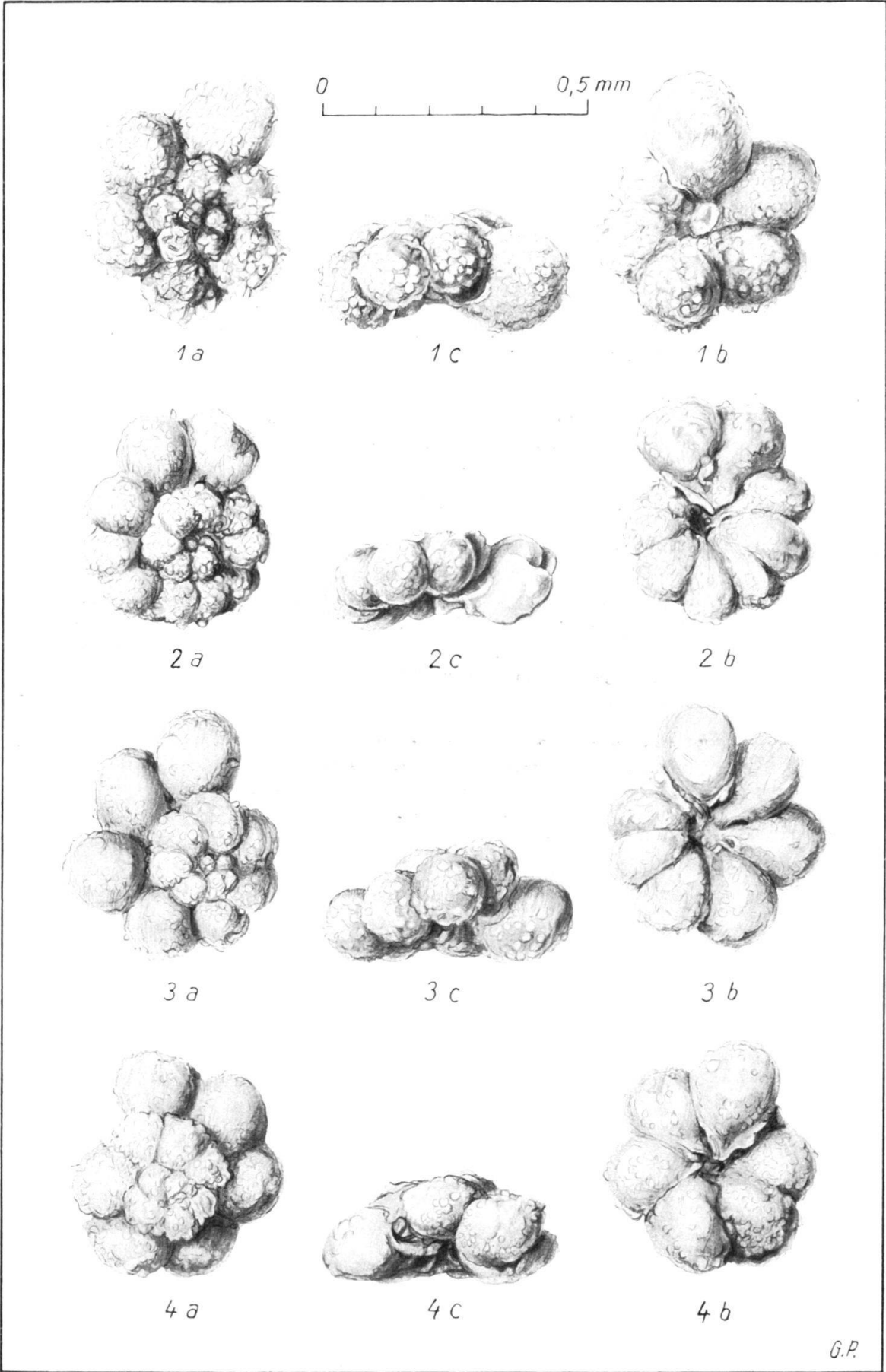


Planche II

- | | Page |
|---|------|
| Fig. 1 a-c. <i>Rotalipora</i> (<i>Thalmaninella</i>) <i>ticinensis ticinensis</i> (GANDOLFI)
K. 1517 g. Complexe schisteux intermédiaire, série basale.
La Forclaz, coupe 8a (flanc de la Dent de Bourgoz), Albien supérieur.
Remarquer la carène présente jusqu'à la dernière loge | 804 |
| Fig. 2 a-c. <i>Rotalipora</i> (<i>Thalmaninella</i>) <i>multiloculata</i> (MORROW)
K. 1516 c. Complexe schisteux intermédiaire, série basale.
La Forclaz, coupe 8a (flanc de la Dent de Bourgoz), Albien supérieur | 804 |
| Fig. 3 a-c. <i>Rotalipora</i> (<i>Thalmaninella</i>) <i>greenhornensis</i> (MORROW)
K. 868 m. Complexe schisteux intermédiaire, série médiane.
Gare de Lessoc, coupe 5c (rive gauche de la Sarine), niveau 132,
Cénomanién moyen.
Remarquer les lèvres proéminentes des ouvertures accessoires dans
le prolongement de la loge | 805 |

Toutes les figures 75 ×

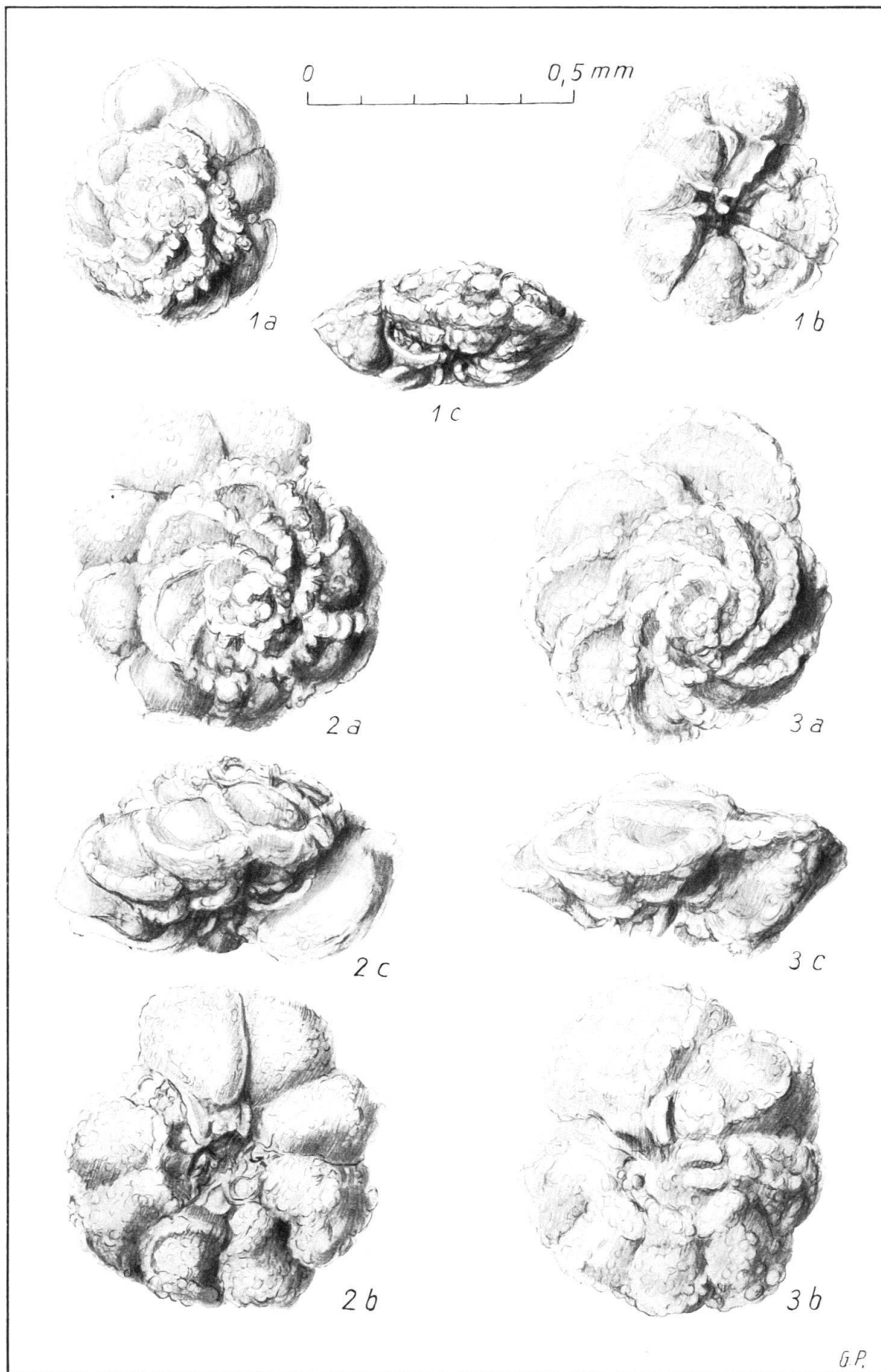


Planche III

	Page
Fig. 1 a-c. <i>Rotalipora (Thalmaninella) brotzeni</i> SIGAL	
K. 1085 u. Complexe schisteux intermédiaire, série terminale. La Forclaz, coupe 8b (au col), Cénomaniens supérieur - Turonien inférieur	805
Fig. 2 a-c. <i>Rotalipora (Thalmaninella) appenninica balernaensis</i> (GANDOLFI)	
K. 839 b. Complexe schisteux intermédiaire, série médiane. Gare de Lessoc, coupe 5c (rive gauche de la Sarine), niveau 75, Cénomaniens inférieur	808
Fig. 3 a-c. <i>Rotalipora (Thalmaninella) appenninica appenninica</i> (RENZ)	
K. 1524 g. Complexe schisteux intermédiaire, série terminale. La Forclaz, coupe 8c (au S du chalet), Cénomaniens supérieur - Turonien inférieur. Noter la disposition de l'ouverture accessoire ménagée par le pro- longement que la loge envoie dans l'ombilic	808

Toutes les figures 75 ×

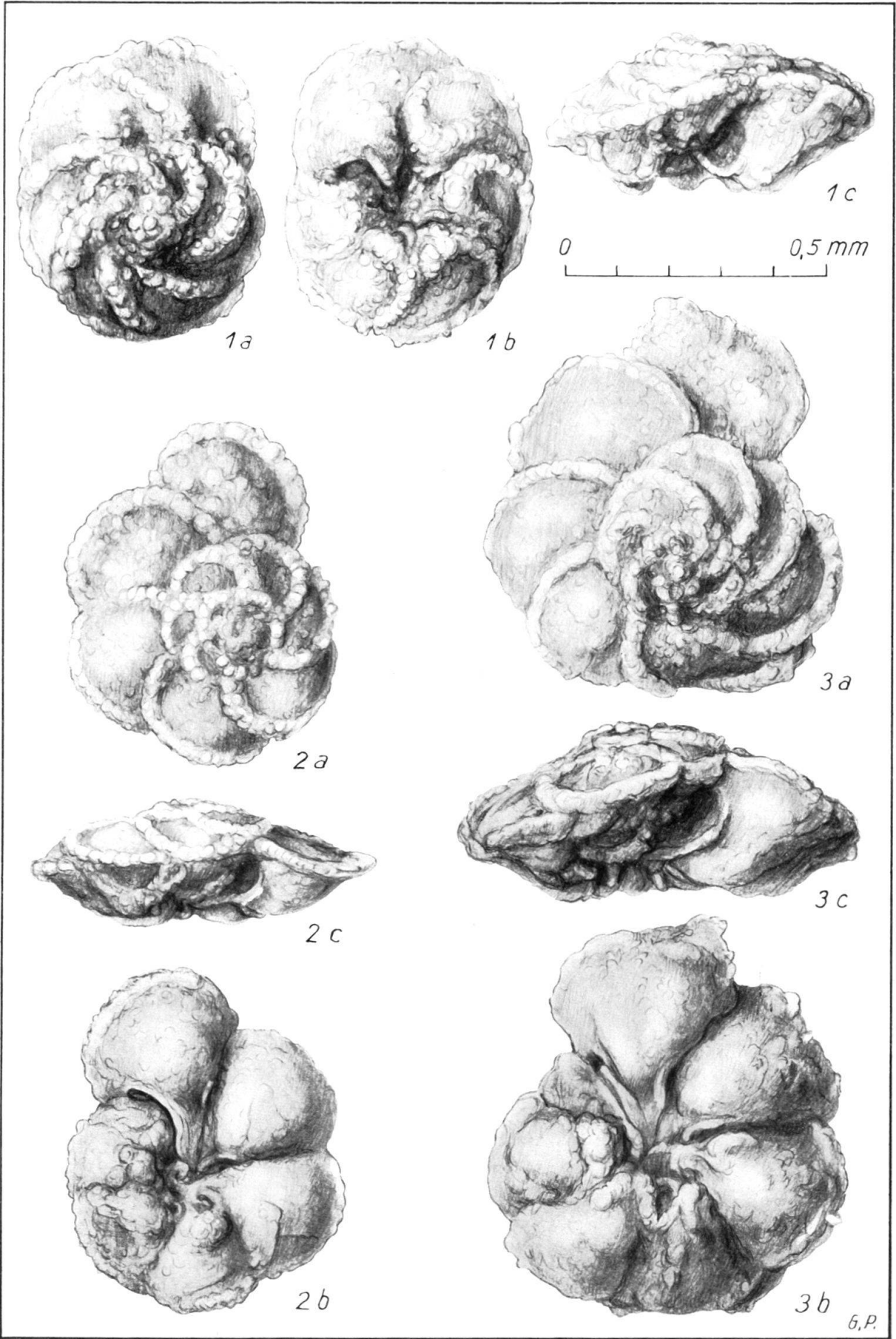


Planche IV

	Page
<p>Fig. 1a-c. <i>Rotalipora</i> (<i>Thalmaninella</i>) <i>globotruncanoides</i> (SIGAL) K. 1523 q. Complexe schisteux intermédiaire, série terminale. La Forclaz, coupe 8c (au S du chalet), Cénomaniens supérieur – Turonien inférieur</p>	805
<p>Fig. 2a-c. <i>Rotalipora</i> (<i>Thalmaninella</i>) <i>reicheli</i> (MORNOD) K. 1085 v. Complexe schisteux intermédiaire, série terminale. La Forclaz, coupe 8b (au col), Cénomaniens supérieur – Turonien inférieur. Remarquer le dédoublement de la carène en deux rangs de pustules</p>	806
<p>Fig. 3a-c. <i>Rotalipora</i> (<i>Thalmaninella</i>) <i>evoluta</i> (SIGAL) K. 853 n. Complexe schisteux intermédiaire, série médiane. Gare de Lessoc, coupe 5c (rive gauche de la Sarine), niveau 116, Cénomaniens moyen. La dernière loge est peut-être endommagée et en partie décortiquée, le volume étant donné par le remplissage de la loge</p>	810
<p>Fig. 4a-c. <i>Rotalipora</i> (<i>Thalmaninella</i> ?) cf. <i>micheli</i> (SACAL & DEBOURLE) K. 1524 h. Complexe schisteux intermédiaire, série terminale. La Forclaz, coupe 8c (au S du chalet), Cénomaniens supérieur – Turonien inférieur</p>	810
<p>Fig. 5a-c. <i>Rotalipora</i> (<i>Rotalipora</i>) cf. <i>montsalvensis</i> var. <i>minor</i> MORNOD K. 1523 u. Complexe schisteux intermédiaire, série terminale. La Forclaz, coupe 8c (au S du chalet), Cénomaniens supérieur – Turonien inférieur</p>	812

Toutes les figures 50 ×

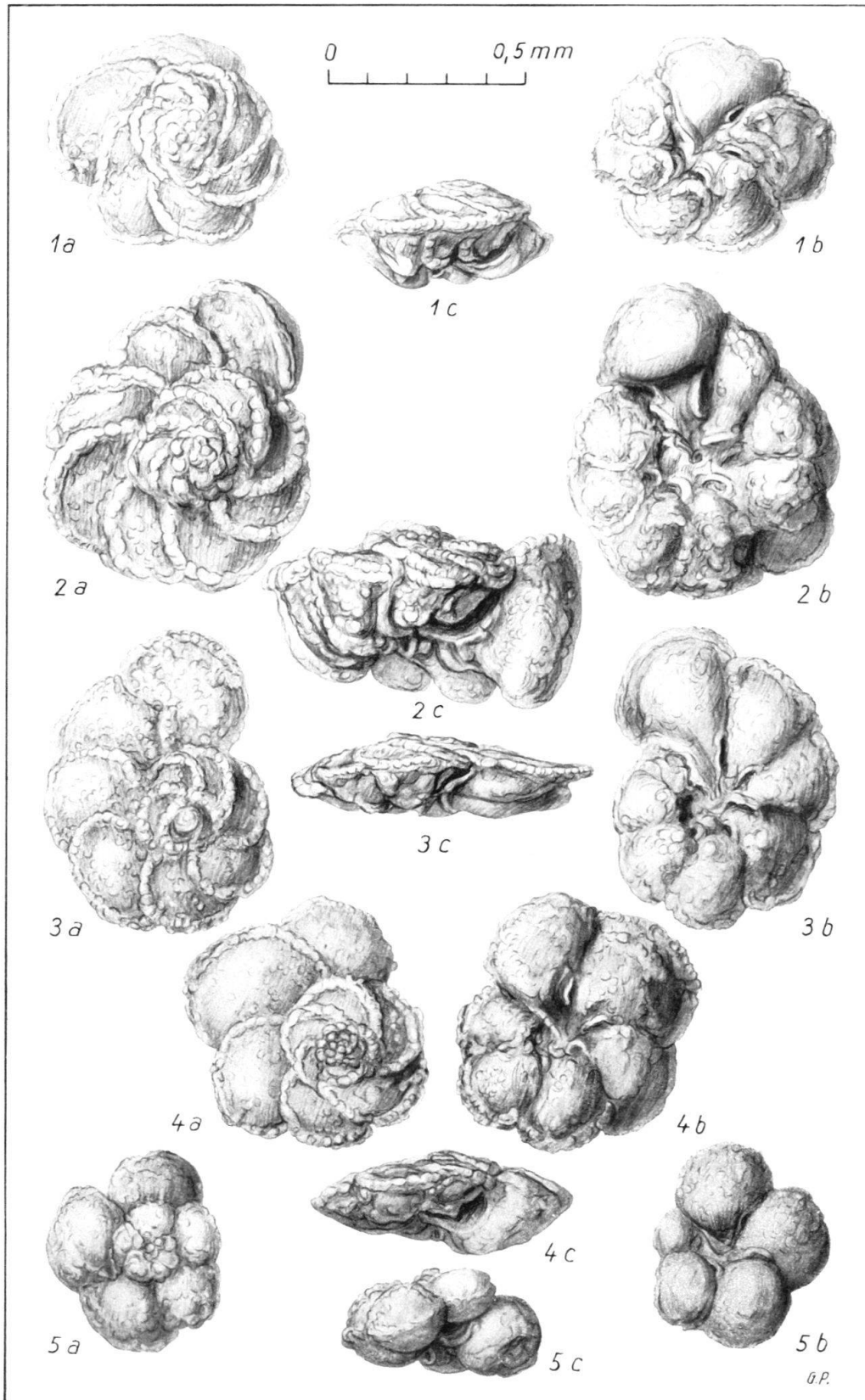


Planche V

	Page
Fig. 1 a-c. <i>Rotalipora</i> (<i>Rotalipora</i>) <i>montsalvensis</i> MORNOD K. 1523 s. Complexe schisteux intermédiaire, série terminale. La Forclaz, coupe 8c (au S du chalet), Cénomanién supérieur – Turonien inférieur	813
Fig. 2 a-c. <i>Rotalipora</i> (<i>Rotalipora</i>) <i>cushmani</i> (MORROW) K. 1085 x. Complexe schisteux intermédiaire, série terminale. La Forclaz, coupe 8b (au col), Cénomanién supérieur – Turonien inférieur. Remarquer l'ouverture accessoire située franchement sur le flanc de la loge, étirée dans l'ombilic	814
Fig. 3 a-c. <i>Rotalipora</i> (<i>Rotalipora</i>) <i>turonica</i> BROTZEN K. 1526 c. Complexe schisteux intermédiaire, série terminale. La Forclaz, coupe 8c (au S du chalet), Cénomanién supérieur – Turonien inférieur	815
Fig. 4 a-c. <i>Rotalipora</i> (<i>Rotalipora</i>) <i>turonica</i> var. <i>expansa</i> CARBONNIER K. 1085 y. Complexe schisteux intermédiaire, série terminale. La Forclaz, coupe 8b (au col), Cénomanién supérieur – Turonien inférieur	816
Fig. 5 a-c. <i>Rotalipora</i> (<i>Rotalipora</i>) <i>turonica</i> var. <i>thomei</i> HAGN & ZEIL K. 1085 d. Complexe schisteux intermédiaire, série terminale. La Forclaz, coupe 8b (au col), Cénomanién supérieur – Turonien inférieur	817

Toutes les figures 50 ×

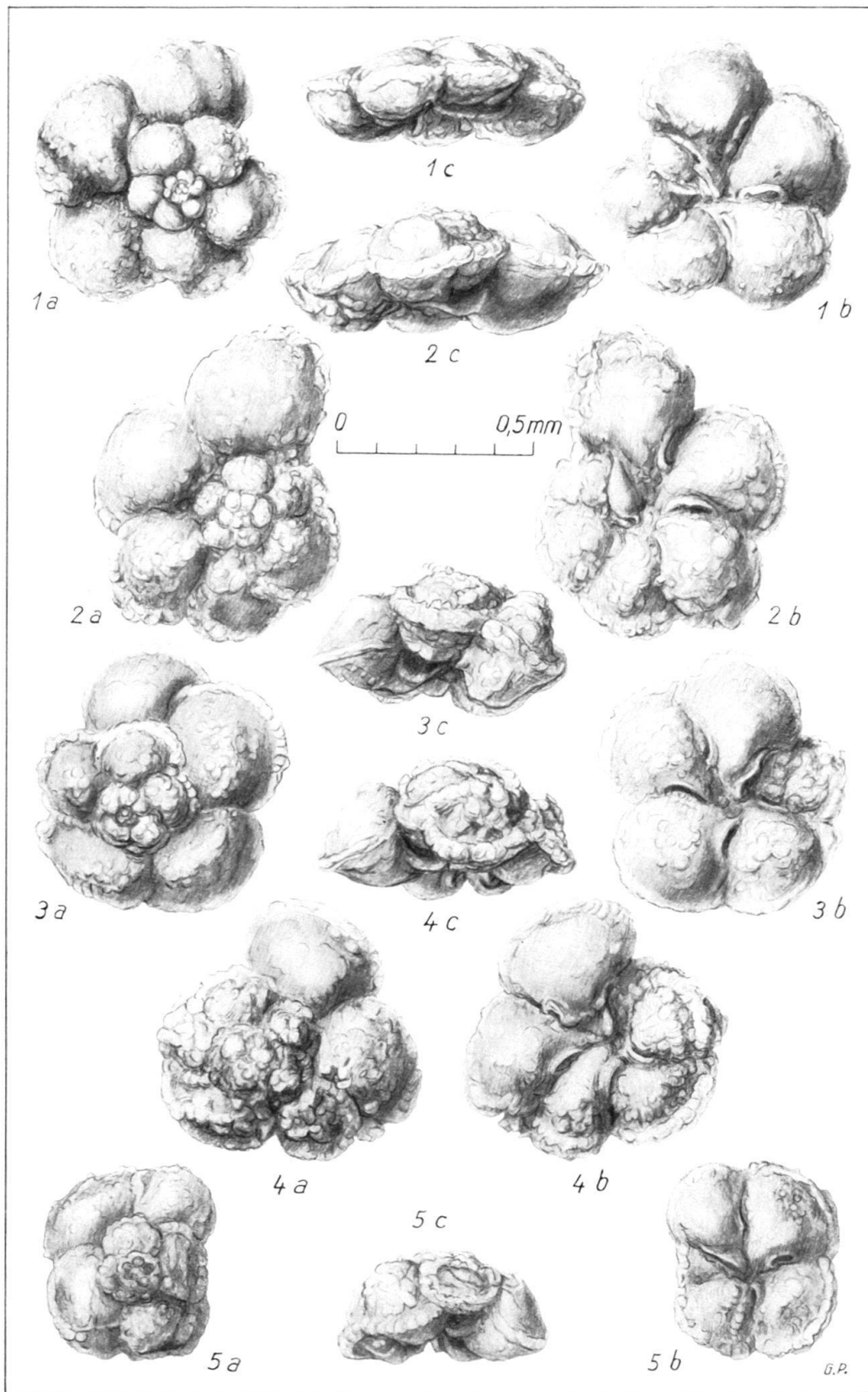


Planche VI

	Page
Fig. 1 a-c. <i>Praeglobotruncana delrioensis</i> (PLUMMER) K. 1538 a. Complexe schisteux intermédiaire, série terminale. La Forclaz, coupe 8b (au col), Cénomaniens supérieur - Turonien inférieur. Remarquer le double rang de pustules sur l'une des loges	793
Fig. 2 a-c. <i>Praeglobotruncana stephani</i> (GANDOLFI) K. 1538 f. Complexe schisteux intermédiaire, série terminale. La Forclaz, coupe 8b (au col), Cénomaniens supérieur - Turonien inférieur. Ici également, le double rang de perles s'esquisse.	794
Fig. 3 a-c. <i>Praeglobotruncana stephani</i> var. <i>turbinata</i> (REICHEL) K. 874 m. Complexe schisteux intermédiaire, série terminale. Gare de Lessoc, coupe 5 (rive gauche de la Sarine), niveau 135, Turonien moyen	795
Fig. 4 a-c. <i>Praeglobotruncana renzi</i> (THALMANN) K. 1305 d. Complexe schisteux intermédiaire, série terminale. La Combaz, coupe 3, Turonien moyen. Les premières loges du dernier tour sont nettement bicarénées . . .	795
Fig. 5 a-c. <i>Praeglobotruncana schneegansi</i> (SIGAL) K. 873 l. Complexe schisteux intermédiaire, série terminale. Gare de Lessoc, coupe 5c (rive gauche de la Sarine), niveau 134, Turonien moyen. Le double rang de perles est visible à toutes les loges	796

Toutes les figures 75 ×

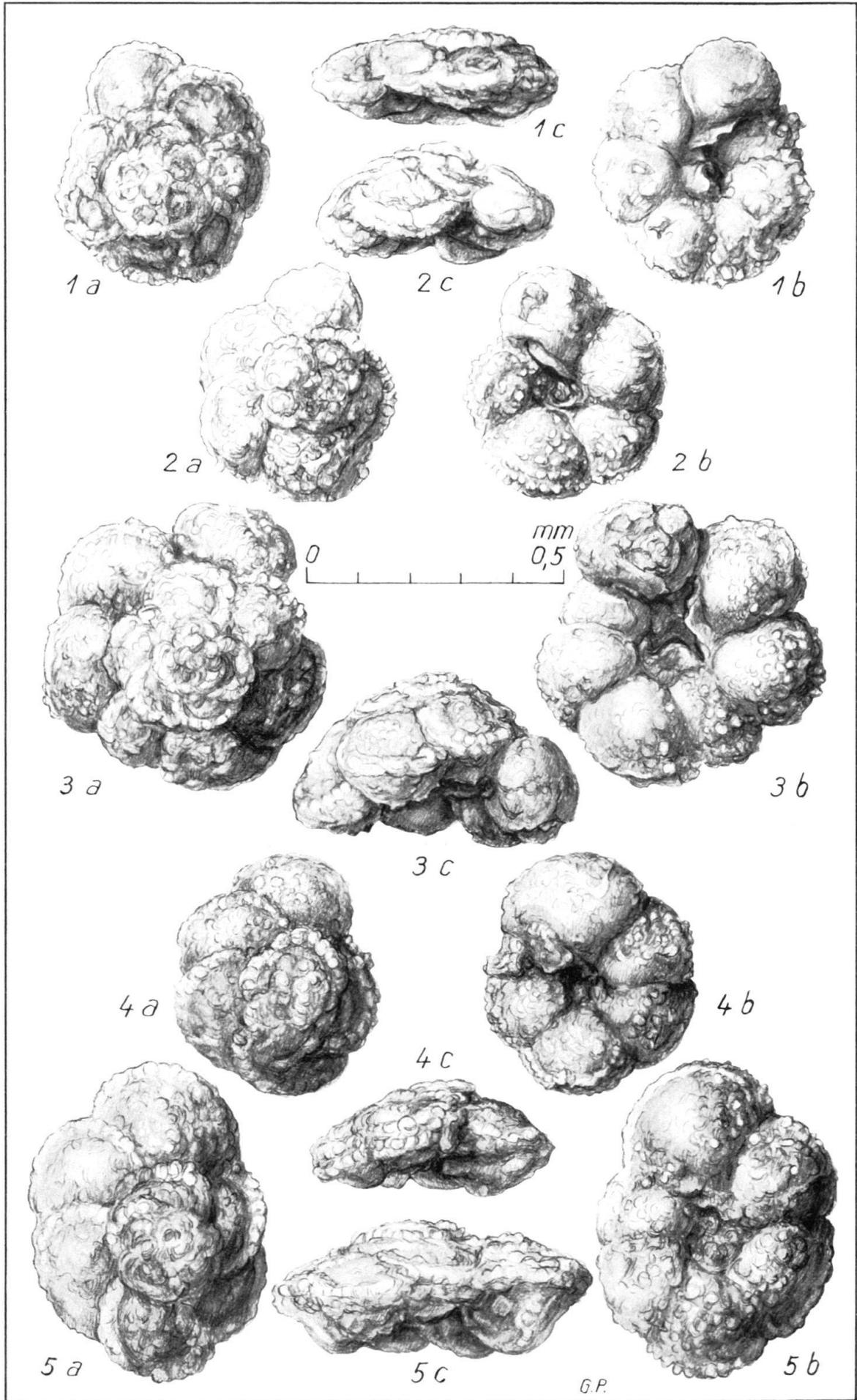


Planche VII

	Page
Fig. 1 a-c. <i>Globotruncana sigali</i> REICHEL	
K. 1532 a. Base des Couches rouges. La Forclaz, coupe 8c (au chalet), Turonien supérieur - Coniacien. Remarquer les cornets (en partie brisés) annonçant la disposition de l'ouverture du groupe <i>lapparenti</i> , ainsi que la dichotomisation de la carène	819
Fig. 2 a-c. <i>Praeglobotruncana</i> , forme intermédiaire entre <i>Praeglt. concavata</i> (BROTZEN) et <i>Praeglt. ? ventricosa</i> (WHITE).	
K. 876 n. Complexe schisteux intermédiaire, série terminale. Gare de Lessoc, coupe 5c (rive gauche de la Sarine), niveau 136. Turonien moyen	797
Fig. 3 a-c. <i>Globotruncana angusticarinata</i> GANDOLFI	
K. 1532 b. Base des Couches rouges. La Forclaz, coupe 8c (au chalet), Turonien supérieur - Coniacien. Les détails des ouvertures sont peu visibles	821
Fig. 4 a-c. <i>Globotruncana</i> cf. <i>lapparenti coronata</i> BOLLI	
K. 1569 b. Base des Couches rouges, collines de Grandvillard, Turonien supérieur - Coniacien. L'exemplaire est très plat, sans atteindre le parallélisme caractéristique des faces dorsales et ventrales de <i>coronata</i> . Noter le grand développement des lèvres de l'ouverture accessoire en parties cassées	821
Fig. 5 a-c. <i>Globotruncana arca</i> (CUSHMAN)	
K. 1532 e. Base des Couches rouges. La Forclaz, coupe 8c (au chalet), Turonien supérieur - Coniacien. Noter la spire haute et le bandeau carénal oblique	824

Toutes les figures 50 ×

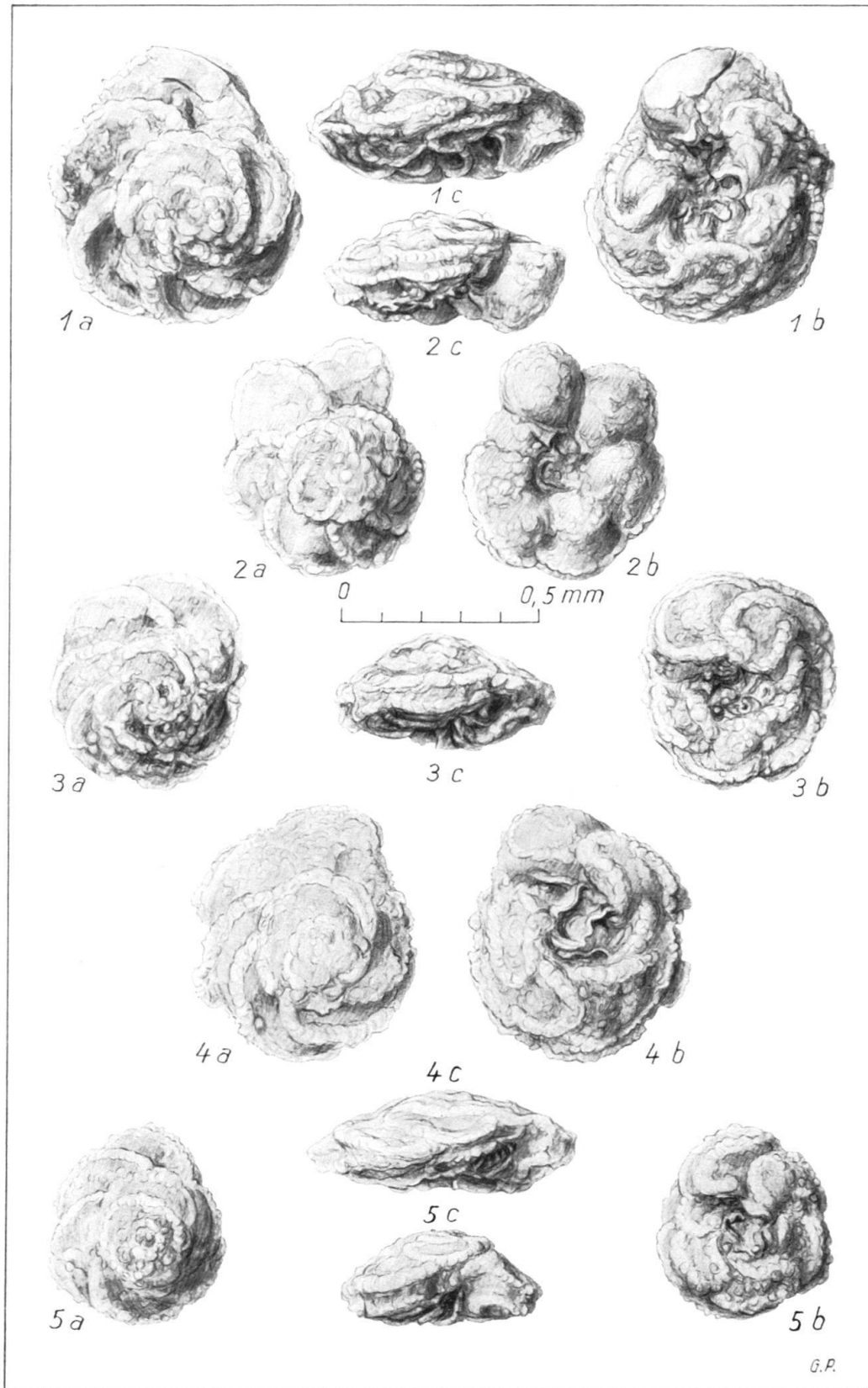


Planche VIII

- | | Page |
|--|------|
| <p>Fig. 1 a-c. <i>Globotruncana linneiana</i> (D'ORBIGNY)
 K. 1528 a. Base des Couches rouges. La Forclaz, coupe 8c (au chalet), Turonien supérieur - Coniacien.
 Noter la forme trapue, le côté dorsal et ventral presque parallèles. On distingue la disposition chevauchante et le grand développement des lèvres des ouvertures accessoires</p> | 823 |
| <p>Fig. 2 a-c. <i>Globotruncana lapparenti lapparenti</i> BROTZEN
 K. 1528 b. Base des Couches rouges. La Forclaz, coupe 8c (au chalet), Turonien supérieur - Coniacien.
 Noter la forme plus conique des côtés dorsal et ventral</p> | 822 |
| <p>Fig. 3 a-c. <i>Globotruncana lapparenti tricarinata</i> (QUEREAU)
 K. 1532 f. Base des Couches rouges. La Forclaz, coupe 8c (au chalet), Turonien supérieur - Coniacien.
 La convexité des côtés dorsal et ventral est encore plus accentuée</p> | 823 |
| <p>Fig. 4 a-c. <i>Globotruncana fornicata</i> (PLUMMER)
 K. 1532 d. Base des Couches rouges. La Forclaz, coupe 8c (au chalet), Turonien supérieur - Coniacien.
 La dernière loge de cet exemplaire est endommagée. Noter la spire haute et le bandeau caréné étroit et oblique, l'allure lancéolée et imbriquée des loges sur la face ventrale</p> | 825 |
| <p>Fig. 5 a-c. <i>Planomalina buxtorfi</i> (GANDOLFI)
 K. 1524 e. Complexe schisteux intermédiaire, série médiane. La Forclaz, coupe 8c (au S du chalet), Cénomancien moyen.
 La dernière loge, fendue, a été cassée après le dessin de la vue de profil et manque sur la vue latérale. Noter les lèvres des ouvertures résiduelles dans l'ombilic</p> | 829 |
| <p>Fig. 6 a-c. <i>Biticinella ? breggiensis</i> (GANDOLFI)
 K. 1514 b. Complexe schisteux intermédiaire, série basale.
 La Forclaz, coupe 8a (flanc de la Dent de Bourgoz), Albien supérieur.
 Noter les lèvres de la portion marginale de l'ouverture, s'étendant dans l'ombilic</p> | 830 |

Toutes les figures 50 ×

